

УДК 621.396.96

О.І. Сухаревський<sup>1</sup>, В.О. Василець<sup>1</sup>, Я.О. Белевщук<sup>1</sup>, Г.Я. Криховецький<sup>2</sup><sup>1</sup>Харківський університет Повітряних Сил імені Івана Кожедуба, Харків<sup>2</sup>Інститут спеціального зв'язку та захисту інформації НТУУ «КПІ», Київ

## РОЗРАХУНОК ЕФЕКТИВНОЇ ПОВЕРХНІ РОЗСІЯННЯ МОДЕЛІ ПУСКОВОЇ УСТАНОВКИ 5П85С ЗЕНІТНОГО РАКЕТНОГО КОМПЛЕКСУ С-300ПС

Розроблена модель поверхні пускової установки 5П85С зенітного ракетного комплексу С-300ПС. На-ведені основні спiввiдношення для розрахунку ефективної поверхнi розсiяння поверхнi пускової установки. Проведенi розрахунки радiолокацiйних характеристик поверхнi пускової установки, зокрема, когерентна, некогерентна, середня та медiанна ефективна поверхня розсiяння, гiстограма амплiтудного множника вiдбитого сигналу для горизонтальної та вертикальної поляризацiї. Зробленi висновки вiдносно викорис-tмання отриманих результатiв.

**Ключовi слова:** радiолокацiйнi характеристики, ефективна поверхня розсiяння.

### Вступ

#### Постановка проблеми і аналiз лiтератури.

Основна пускова установка (ПУ) 5П85С, що входить до складу пускового комплексу 5П85СД зенітного ракетного комплексу (ЗРК) С-300ПС, призначена для зберiгання i транспортування ракет у транспортно-пускових контейнерах, пiдготовки i керування стартом ракет, та керування додатковими ПУ 5П85Д [1]. Живучiсть, а значить, i бойова ефективнiсть ПУ у великiй мiрi залежать вiд зниження iї по-miтностi для радiолокацiйних систем. Проте, для проведення заходiв щодо зниження радiолокацiйnoї по-miтностi необхiдне знання априорної iнформацiї про вiдбиваючi властивостi об'ектu. Отриманню довiдкових даних про радiолокацiйнi характеристики (РЛХ), зокрема ефективну поверхню розсiяння (ЕПР) ПУ 5П85С ЗРК С-300ПС присвячена ця стаття.

**Мета роботи** – розробка моделi ПУ 5П85С, розрахунок i аналiз РЛХ отриманої моделi.

### Основний матерiал

Основною характеристикою, яка визначає властивостi об'ектu, що вiдбиває електромагнiтнi хвилi, є ЕПР [2, 3]:

$$\sigma = \lim_{R \rightarrow \infty} 4\pi R^2 \frac{|\vec{p}^{\text{пр}} \cdot \vec{E}^{\text{пр}}(R \vec{r}^0)|^2}{|\vec{p} \cdot \vec{E}(\vec{R}^0)|^2}, \quad (1)$$

де  $R$  – вiдстань мiж передавачем i об'ектu;  $\vec{E}(\vec{R}^0)$  – вектор електричної напруженостi плоскої електромагнiтнiх хвилi, що поширюється у напрямi орта  $\vec{R}^0$ ;  $\vec{E}^{\text{пр}}(R \vec{r}^0)$  – вектор електричної напруженостi електромагнiтнiх хвилi, що розсiяна об'ектом у напрямi орта  $\vec{r}^0$ ;  $\vec{p}^{\text{пр}}, \vec{p}$  – орти поляризацiї приймальної i передавальної антен вiдповiдно. Передбачається, що зондування проводиться плоскою монохро-

матичною електромагнiтною хвилею одиничної амплiтуди.

Для розрахунку вторинного випромiнювання об'ектiв складної форми їх поверхня умовно роздiляється на двi частини: „гладкi” дiлянки i локальнi дiлянки розсiяння крайкового типу

$$\vec{E}^{\text{пр}} = \vec{E}_{\text{гл}}^{\text{пр}} + \vec{E}_{\text{кр}}^{\text{пр}}. \quad (2)$$

#### Моделювання поверхнi ПУ 5П85С

Зовнiшнiй вигляд ПУ 5П85С представлений на рис. 1. Вiдповiдно до конструкцiї ПУ для проведення розрахункiв РЛХ була створена модель її поверхнi, яка представлена на рис. 2.



Рис. 1. ПУ 5П85С



Рис. 2. Модель ПУ 5П85С

Поверхня апроксимована за допомогою ділянок 136 еліпсоїдів. Злами поверхні були промодельовані за допомогою 116 прямих крайкових ділянок розсіяння.

**РЛХ моделі ПУ 5П85С  
при частоті опромінення  
10ГГц (довжина хвилі 3см).  
Горизонтальна поляризація**

Параметри опромінення: кут місця зондування 10 градусів відносно площини підстилаючої поверхні, крок зміни азимуту зондування 1 градус, азимут відраховується в градусах від носового ракурсу (0 градусів - зондування з фронту, 180 градусів - зондування з тилу), суха земля. На рис. 3 приведена кругова діаграма ЕПР ПУ 5П85С. На рис. 4 приведена кругова діаграма некогерентної ЕПР (НЕПР) ПУ 5П85С. Значення НЕПР є доброю та достатньо стійкою оцінкою ЕПР в певному діапазоні зондуючих частот та ракурсів опромінення цілі. Значення ЕПР та НЕПР наведені в квадратних метрах. Середня ЕПР ПУ складає 1015,7 м<sup>2</sup>. Кругова медіанна ЕПР (значення ЕПР, яке використовується при розрахунках дальності виявлення об'єкта з ймовірністю 0,5) складає 136,09 м<sup>2</sup>.

На рис. 5, 6 наведені середні та медіанні значення ЕПР для головних діапазонів азимутів опромінення (фронт, бік, тил) та для діапазону 20 градусів. Значення ЕПР в м<sup>2</sup>.

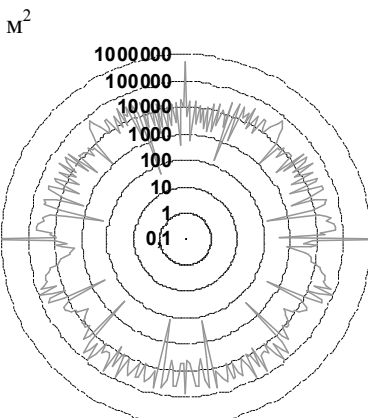


Рис. 3. Кругова діаграма ЕПР моделі ПУ 5П85С

ЕПР, м<sup>2</sup>

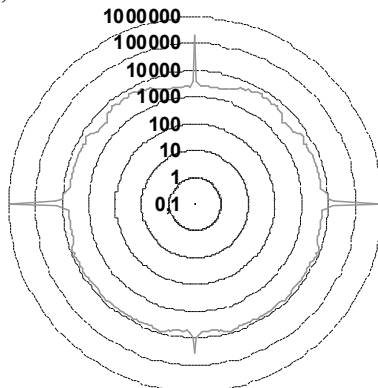


Рис. 4. Кругова діаграма НЕПР моделі ПУ 5П85С

На рис. 7 наведена гістограма амплітудного множника (квадратного кореня з ЕПР) відбитого сигналу для діапазону азимутів опромінення – 20...+20 градусів (опромінення з фронту). Жирною лінією наведена функція щільності ймовірності розподілу, якою можна апроксимувати гістограму амплітудного множника. В даному випадку гістограма амплітудного множника може бути апроксимована за допомогою нормального закону розподілу ймовірності з функцією щільності:

$$F(x) = \frac{1}{\sqrt{2\pi}\sigma} \exp\left(-\frac{(x-\mu)^2}{2\sigma^2}\right), \quad (3)$$

де  $\mu = 83,32799$ ;  $\sigma = 35,93137$ .

**Вертикальна поляризація**

На рис. 8 приведена кругова діаграма ЕПР ПУ 5П85С. На рис. 9 приведена кругова діаграма НЕПР ПУ 5П85С. Значення НЕПР є доброю та достатньо стійкою оцінкою ЕПР в певному діапазоні зондуючих частот та ракурсів опромінення цілі. Значення ЕПР та НЕПР наведені в квадратних метрах. Середня ЕПР ПУ складає 152,08 м<sup>2</sup>. Кругова медіанна ЕПР складає 20,55 м<sup>2</sup>. На рис. 10, 11 наведені середні та медіанні значення ЕПР для головних діапазонів азимутів опромінення (фронт, бік, тил) та для діапазонів у 20 градусів. Значення ЕПР наведені в м<sup>2</sup>.

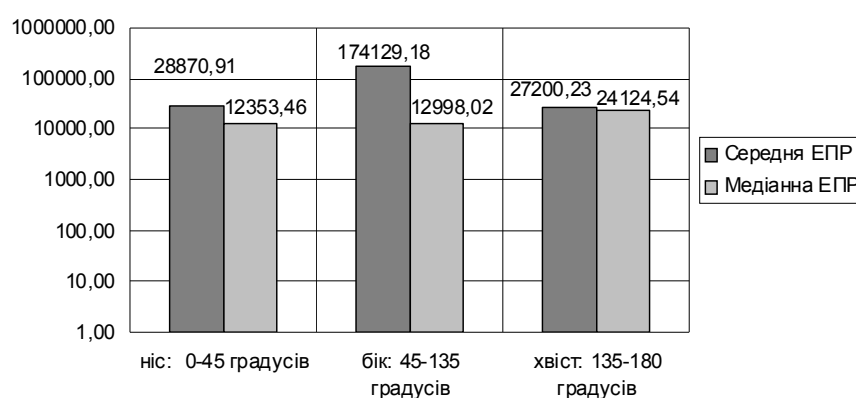


Рис. 5. Середні та медіанні ЕПР для головних діапазонів азимутів опромінення (фронт, бік, тил)

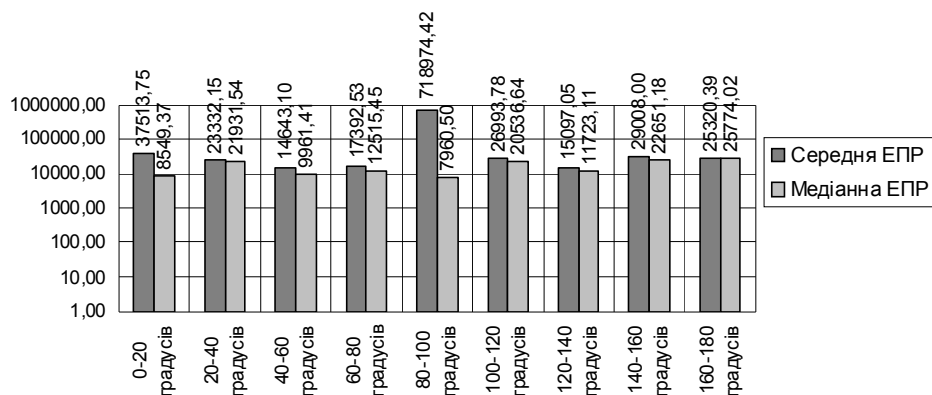


Рис. 6. Середні та медіанні ЕПР для двадцятиградусних діапазонів азимутів опромінення

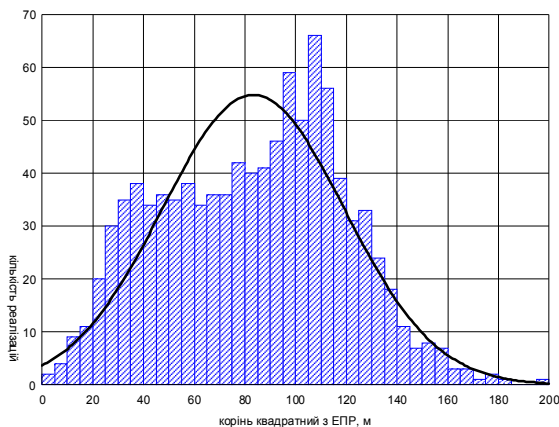


Рис. 7. Гістограма амплітудного множника (квадратного кореня з ЕПР) відбитого сигналу

На рис. 12 наведена гістограма амплітудного множника (квадратного кореня з ЕПР) відбитого сигналу для діапазону азимутів опромінення - 20...+20 градусів (опромінення з фронту). Жирною лінією наведена функція щільності ймовірності розподілу, якою можна апроксимувати гістограму амплітудного множника. В даному випадку гістограма амплітудного множника може бути апроксимована за допомогою нормального закону розподілу ймовірності з функцією щільності:

$$F(x) = \frac{1}{\sqrt{2\pi}\sigma} \exp\left(-\frac{(x-\mu)^2}{2\sigma^2}\right), \quad (4)$$

де  $\mu = 32,48$ ;  $\sigma = 13,90$ .

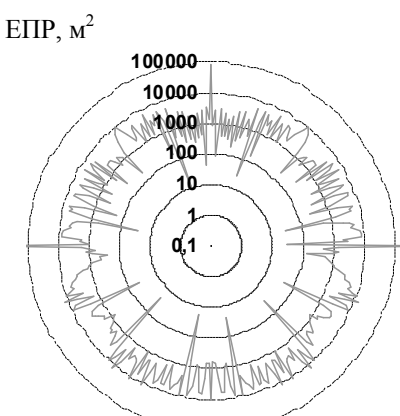


Рис. 8. Кругова діаграма ЕПР моделі ПУ 5П85С

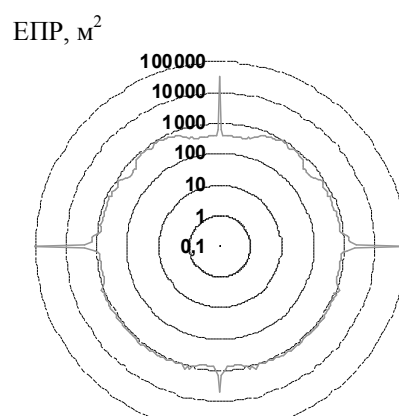


Рис. 9. Кругова діаграма НЕПР моделі ПУ 5П85С

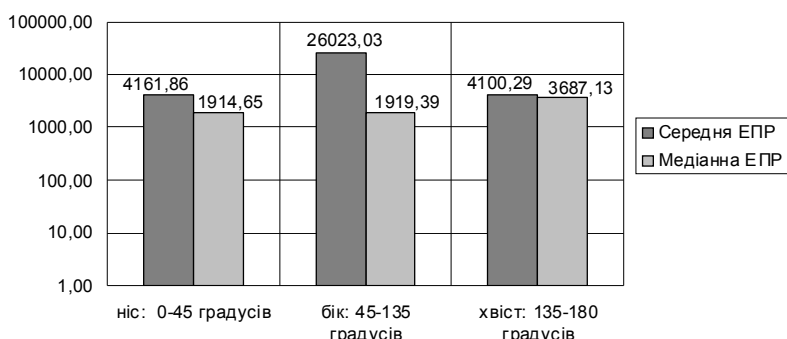


Рис. 10. Середні та медіанні ЕПР для головних діапазонів азимутів опромінення (фронт, бік, тил)

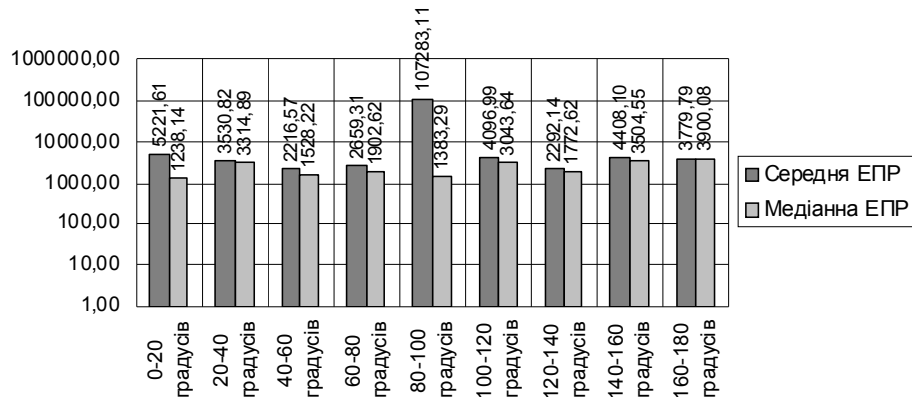


Рис. 11. Середні та медіанні ЕПР для двадцятиградусних діапазонів азимутів опромінення

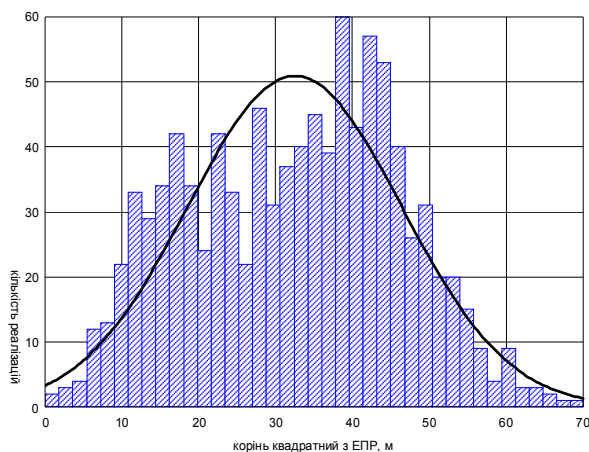


Рис. 12. Гістограма амплітудного множника (квадратного кореня з ЕПР) відбитого сигналу

## Висновки

1. Розроблена модель поверхні ПУ 5П85С.
2. Проведені розрахунки ЕПР отриманої моделі поверхні ПУ 5П85С для всього азимутального діапазону і кута місця зондування  $10^\circ$ .
3. Результати розрахунків показали, що для горизонтальної поляризації зондуючого сигналу середня ЕПР ПУ 5П85Д складає  $1015,7 \text{ m}^2$ , кругова медіана ЕПР складає  $136,09 \text{ m}^2$ , для вертикальної поляризації зондуючого сигналу – відповідно  $152,08$  та  $20,55 \text{ m}^2$ .

4. Отримані результати можуть бути використані для модернізації розглянутого об'єкту та на етапах проектування перспективних зразків військової техніки схожої конфігурації з метою зниження їх радіолокаційної помітності.

## СПИСОК ЛІТЕРАТУРИ

1. Вестник ПВО. Зенитный ракетный комплекс С-300ПС [Электронный ресурс]. – Режим доступа до журнала: [http://pvo.guns.ru/s300p/index\\_s300ps.htm](http://pvo.guns.ru/s300p/index_s300ps.htm).
2. Рассеяние электромагнитных волн воздушными и наземными радиолокационными объектами: монография / [Ю.И. Сухаревский, В.А. Василенко, С.В. Кукобко, [и др.]; под ред. Ю.И. Сухаревского]. – Х.: ХПС, 2009. – 468 с.
3. Фундаментальные и прикладные задачи теории рассеяния электромагнитных волн / Ю.К. Сиренко, И.В. Сухаревский, О.И. Сухаревский, Н.П. Яшина; под ред. Ю.К. Сиренко. – Х.: Крок, 2000. – 344 с.

Надійшла до редакції 5.09.2015

Рецензент: д-р техн. наук ст. наук. співр. В.К. Іванов, Інститут радіофізики та електроніки НАН України, Харків.

## РАСЧЕТ ЭФФЕКТИВНОЙ ПОВЕРХНОСТИ РАССЕЯНИЯ МОДЕЛИ ПУСКОВОЙ УСТАНОВКИ 5П85С ЗЕНИТНОГО РАКЕТНОГО КОМПЛЕКСА С-300ПС

О.И. Сухаревский, В.А. Василенко, Я.А. Белевщук, Г.Я. Крыховецкий

Разработана модель поверхности пусковой установки 5П85С зенитного ракетного комплекса С-300ПС. Приведены основные соотношения для расчета эффективной поверхности рассеяния пусковой установки. Проведены расчеты радиолокационных характеристик пусковой установки, в частности, когерентная, некогерентная, средняя и медианная эффективная поверхность рассеяния, гистограмма амплитудного множителя отраженного сигнала для горизонтальной и вертикальной поляризации. Сделаны выводы относительно использования полученных результатов.

**Ключевые слова:** эффективная поверхность рассеяния, эллипсоид, поляризация.

## CALCULATION OF EFFECTIVE SURFACE OF DISPERSION OF MODEL OF STARTING SETTING 5P85S OF ZENITHAL ROCKET COMPLEX S-300 PS

O.I. Sukharevsky, V.A. Vasilets, Y.A. Belevshchuk, H.Ya. Krikhoveckiy

The model of surface of the starting setting 5P85S of zenithal rocket complex S-300 PS is developed. Basic correlations for the calculation of effective surface of dispersion of the starting setting are resulted. The calculations of radio-location descriptions of the starting setting are conducted, in particular, coherent, non-coherent, middle and median effective surface of dispersion, histogram of peak multiplier of the reflected signal for horizontal and vertical polarization. Conclusions are done in relation to drawing on the got results.

**Keywords:** effective surface of dispersion, ellipsoid, polarization.